

# بهبود عملکرد ترانسفورماتور ولتاژ بالا در منبع تغذیه تقویت‌کننده کلایسترون با متعادل‌سازی جریان مغناطیس‌کنندگی

ابوالفضل نصیری، محسن گنجی و سید محمد علوی

از قسمت‌های مختلفی تشکیل شده‌اند و یکی از اجزای اصلی آن، مدار راهانداز است که با تولید پالس‌های ولتاژ و توان بالا جهت راهاندازی لامپ‌های مایکروویو مورد استفاده قرار می‌گیرند.

در [۳] ساختار تمام‌پل مازولار برای تولید پالس ولتاژ بالا برای تغذیه تقویت‌کننده کلایسترون به کار رفته و در آن از سه مازول مبدل DC-DC برای تأمین ولتاژ مد نظر استفاده شده است. در [۴] یک مدولاتور توان ولتاژ بالا با استفاده از ساختار مبدل چندسطحه برای تغذیه کلایسترون پیشنهاد شده که بدین ترتیب مازول‌های مبدل چندسطحه برای تأمین سطح ولتاژ به صورت سری در خروجی قرار می‌گیرند. ترکیب پیشنهادشده موجب بهبود کیفیت توان خط AC و بهبود راندمان مدولاتور توان شده است. در [۵] از ساختار مبدل فلای‌بک کلمپ فعال برای تولید پالس ولتاژ بالا برای لامپ مایکروویو استفاده گردیده؛ بدین صورت که با تعییر زمان کلیدزنی موجب افزایش بهره مبدل شده است. در [۶] مبدل توان پالسی بر پایه تخلیه شارژ خازن و جبران کننده ولتاژ سریع برای راهاندازی لامپ کلایسترون آمده است. جبران کننده ولتاژ سریع به صورت مازولار پالس ولتاژ بالا را تأمین می‌کند. ساختار پیشنهادی برای بهبود کیفیت توان AC مبدل تخلیه شارژ خازنی قابل استفاده است. در [۷] از ساختار مدولاتورهای توان بر اساس مازول‌های تقویت‌کننده ولتاژ چندسطحه ارائه شده و نیز با به کارگیری از مازول‌های تقویت‌کننده ولتاژ ورودی موایزی / خروجی سری، پالس ولتاژ بالا تأمین شده است. در [۸] از ساختار مبدل افزاینده چندمرحله‌ای برای منبع تغذیه پالس ولتاژ بالا استفاده شده که در شرایط باری متفاوت، امکان تولید پالس مدنظر را دارد. همچنین پالس تولیدشده در خروجی به صورت تک‌قطبی و دوقطبی و با عرض پالس، فرکانس و دامنه قابل تنظیم ارائه شده است. در [۹] از ساختار مبدل نیم‌پل برای راهاندازی لامپ مایکروویو استفاده شده و بدین ترتیب با تعییر فاز کلیدزنی جریان مغناطیس‌کنندگی ترانسفورماتور متعادل گردیده است. در [۱۰] یک مولد پالس با استفاده از مبدل کلید خازنی برای تولید پالس ولتاژ بالا با امکان تنظیم سطح ولتاژ و فرکانس ارائه شده است. بدین صورت که ساختار مازول‌های سوئیچ خازنی برای افزایش گام‌به‌گام ولتاژ ورودی در نظر گرفته شده است. در [۱۱] از شارژ بانک خازنی برای تولید پالس ولتاژ بالا جهت راهاندازی کلایسترون استفاده شده است. برای تأمین ولتاژ سطح بالا، مبدل‌های چندسطحه به صورت مازولار به کار رفته‌اند. در [۱۲] و [۱۳] از ساختار مبدل فوروارد کلمپ فعال برای تولید پالس ولتاژ بالا استفاده شده و در آنها با تکنیک تعییر فاز، بهره مبدل افزایش یافته است. در [۱۲] از ساختار تک‌کلید و در [۱۳] از ساختار دوکلید استفاده شده است. در [۱۴] از ساختار مازولار چندسطحه به عنوان جایگزین ترانسفورماتور پالس برای راهاندازی لامپ کلایسترون استفاده شده است. هر مازول از

چکیده: در این تحقیق از ساختار مبدل تمام‌پل برای تغذیه تقویت‌کننده کلایسترون استفاده شده است. برای تأمین توان کلایسترون (۴ A، ۱۰۰ kW و ۲۵ kV) سه مازول مبدل تمام‌پل با ترانسفورماتور ولتاژ بالا-فرکانس بالا به کار رفته است. خروجی ترانسفورماتورها در یک ساختار ستاره، یکسو شده و پس از عبور از یک فیلتر  $\pi$ ، تغذیه مدار راهانداز لامپ کلایسترون تأمین می‌شود. خروجی منبع تغذیه، پالس‌هایی با عرض ۱ ms و فرکانس تکوار ۵۰ Hz می‌باشد. ولتاژ ورودی مبدل ۵۰۰ VDC است که از یک تغذیه سه‌فاز تأمین می‌گردد. در این تحقیق با متعادل‌سازی جریان مغناطیس‌کنندگی ترانسفورماتور فرکانس بالا، بیشینه جریان مغناطیس‌کنندگی ترانسفورماتورها کاهش یافته و موجب کاهش بیشینه جریان ترانزیستورها می‌شود. با کاهش بیشینه جریان مغناطیس‌کنندگی نیز ابعاد هسته ترانسفورماتور و در نتیجه ابعاد، حجم و وزن مدار راهانداز کلایسترون کاهش پیدا می‌کند. همچنین اندوکتانس نشتی ترانسفورماتور فرکانس بالا، موجب شکل‌گیری مدار تشید سری شده و شرایط کلیدزنی نرم فراهم گردیده و بدین ترتیب موجب بهبود عملکرد مدار راهانداز کلایسترون می‌شود. عملکرد مدولاتور با استفاده از نرم‌افزار PSCAD و با مقاومت شبیه‌سازی شده و مورد تأیید قرار گرفته است.

**کلیدواژه:** ترانسفورماتور فرکانس بالا، تقویت‌کننده کلایسترون، مدار تشید سری، مدار راهانداز.

## ۱- مقدمه

شتاب‌دهنده‌های خطی با تولید انرژی توان بالای پرتو الکترونی یا پرتو ایکس در پزشکی، صنعت، امنیت ملی و ... استفاده می‌شوند. کلایسترون، یک لامپ خلاً پرتو خطی خاص است که به عنوان تقویت‌کننده برای فرکانس رادیویی از فرکانس UHF تا محدوده مایکروویو استفاده می‌شود [۱]. کلایسترون‌های کم‌توان به عنوان اسیلاتور در لینکهای ارتباطی مایکروویو زمینی و کلایسترون‌های توان بالا در خروجی فرستنده‌های تلویزیونی UHF، ارتباطات ماهواره‌ای، فرستنده‌های راداری و برای تولید نیروی محرک در شتاب‌دهنده‌های ذرات مدرن استفاده می‌شوند. تغذیه کلایسترون پالس عرض باریک ولتاژ بالا است. کلایسترون به صورت یک مقاومت خطی در مدار عمل می‌کند [۲]. شتاب‌دهنده‌های خطی الکترون

این مقاله در تاریخ ۲۹ آبان ماه ۱۴۰۲ دریافت و در تاریخ ۱۵ فروردین ماه ۱۴۰۳ بازنگری شد.

ابوالفضل نصیری (نویسنده مسئول)، دانشکده فنی و مهندسی، دانشگاه افسری و تربیت پاسداری امام حسین (ع)، تهران، ایران، (email: nasirieng@gmail.com). محسن گنجی، دانشکده فنی و مهندسی، دانشگاه افسری و تربیت پاسداری امام حسین (ع)، تهران، ایران، (email: mmohsen.gganji\_66@yahoo.com). سید محمد علوی، دانشکده برق، دانشگاه جامع امام حسین (ع)، تهران، ایران، (email: alavi\_m@tbsmapna.com)

## DC/DC مبدل ۲-۲

مطابق با شکل ۲، مبدل DC/DC از سه مازول تمام‌پل تشکیل شده است. مازول‌ها در ورودی به صورت موازی و در خروجی، سیم‌بیچ‌های ثانویه ترانسفورماتورهای مبدل به شکل ستاره متصل می‌شوند. این نوع اتصال نه تنها ولتاژ خط ظاهرشده در یکسوکننده‌ها را افزایش می‌دهد، بلکه فرکانس رسیل خروجی یکسواساز را نیز افزایش می‌دهد؛ لذا ولتاژ صاف‌تری در خروجی داریم. همچنین با افزایش فرکانس رسیل خروجی، ظرفیت و ابعاد المان‌های فیلتر خروجی کاهش می‌یابد. مازول‌های اینورتر تمام‌پل، ۱۲۰ درجه اختلاف فاز نسبت به یکدیگر دارند. ترانسفورماتورهای فرکانس بالا، ولتاژهای سه‌فاز با فرکانس ۵۰ kHz انتقال می‌دهند. با توجه به اینکه عرض پالس KPS به میزان ms ۱ است، لذا مبدل‌های DC/DC در هر دوره تنابع صرفاً ۱ ms فعال هستند (شکل ۳).

در بخش ثانویه ترانسفورماتورها مطابق با (۱) تا (۳) ولتاژ ۱۸/۵ kvac در ایجاد می‌شود. بدین ترتیب بیشینه ولتاژ خط kVAC ۲۶/۲۷ در ورودی‌های یکسوکننده ظاهر می‌گردد. سیپس با استفاده از یکسوکننده، ولتاژهای سه‌فاز و صافی  $\pi$ ، ولتاژ ۲۵ VDC در خروجی ایجاد می‌شود. ولتاژ دوم بخش ثانویه ترانسفورماتورها برای تشکیل نقطه خنثی به یکدیگر متصل گردیده و به نقطه میانی خازن‌های صافی خروجی، اتصال پیدا می‌کند.

$$V_{Lm} = \frac{\pi V_{ODC}}{3} \quad (1)$$

$$V_{OP} = \frac{V_{Lm}}{\sqrt{3}} \quad (2)$$

$$F_{Or} = 6 \times F_s \quad (3)$$

در (۱) تا (۳)،  $V_{ODC}$  ولتاژ خروجی مورد نظر برای کلایسترون (۲۵ kV)،  $V_{Lm}$  بیشینه ولتاژ خط سه‌فاز،  $V_{OP}$  دامنه ولتاژ خروجی ترانسفورماتورها،  $F_{Or}$  فرکانس رسیل خروجی یکسواساز و  $F_s$  فرکانس کلیدزنی مبدل می‌باشد. مشخصات پالس تقویت‌کننده کلایسترون عبارتند از ۱ ms، ۱۰۰ A، ۴ kV و ۴ A. بر این اساس، طبق (۴) تا (۸) پارامترهای مداری و تنش ولتاژ و جریان ترانزیستورها و دیودهای یکسواساز خروجی محاسبه می‌گردد [۱۵]

$$V_{Sm} = V_{dc} \quad (4)$$

$$V_{Dm} = V_{Lm} \quad (5)$$

$$I_{Dm} = \frac{V_{Lm}}{R} \quad (6)$$

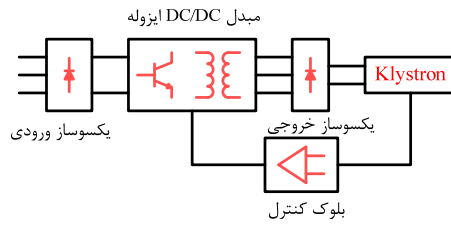
$$I_{OP} = \frac{V_{Lm}}{\sqrt{2}R} \quad (7)$$

$$I_{Sm} = \frac{V_{Lm}}{\sqrt{2}Rn} \quad (8)$$

که در (۴) تا (۸)، ولتاژ DC ورودی مازول‌ها،  $V_{Sm}$  تنش ولتاژ ترانزیستورها،  $V_{Dm}$  تنش ولتاژ دیودهای یکسواساز خروجی،  $I_{OP}$  بیشینه جریان ثانویه ترانسفورماتورها و  $I_{sm}$  تنش جریان ترانزیستورها است. بر اساس (۴) تا (۸) مشخصات ترانزیستورها و دیودهای مدار به صورت زیر مشخص می‌شود

Transistors :  $V_{Sm} = ۵۰۰$  VDC ,  $I_{Sm} = ۱۶۵$  A

Diode :  $V_{Dm} = ۲۷/۲۶$  KV ,  $I_{Dm} = ۲۵/۵$  A



شکل ۱: بلوک دیاگرام مدار راهانداز لامپ کلایسترون.

یک مبدل DC/DC با ترانسفورماتور فرکانس بالا- ولتاژ بالا تشکیل گردیده و سیپس در یک ساختار سری، خروجی مازول‌ها با هم جمع شده و ولتاژ سطح بالا برای کلایسترون تأمین می‌گردد.

در این تحقیق مبدل تمام‌پل به صورت مازول‌لار برای تولید پالس ولتاژ بالا جهت منبع تغذیه کلایسترون<sup>(۱)</sup> پیشنهاد شده است. در این ساختار با متعادل‌سازی جریان مغناطیس‌کنندگی ترانسفورماتورها، عملکرد KPS بهبود یافته است. فرکانس تکرار پالس مدار راهانداز Hz ۵۰، عرض پالس خروجی ۱ ms و فرکانس کلیدزنی ۵۰ kHz می‌باشد.

در بخش دوم ساختار KPS پیشنهادی توصیف شده است. این بخش، نخست اجزای ساختار پیشنهادی را ارائه کرده و سیپس به توضیح مدار تشدید سری می‌پردازد و در ادامه متعادل‌سازی جریان مغناطیس‌کنندگی بررسی می‌گردد. در بخش سوم بلوک دیاگرام کنترل KPS تشریح گردیده و در بخش چهارم هم نتایج شبیه‌سازی ارائه شده است.

## ۲- طراحی، تجزیه و تحلیل عملکرد KPS

اجزای KPS عباتند از

(۱) یکسواساز ورودی: در این بخش ولتاژ سه‌فاز Hz ۵۰ و vac ۳۸۰ ورودی به ۵۰۰ VDC تبدیل می‌گردد.

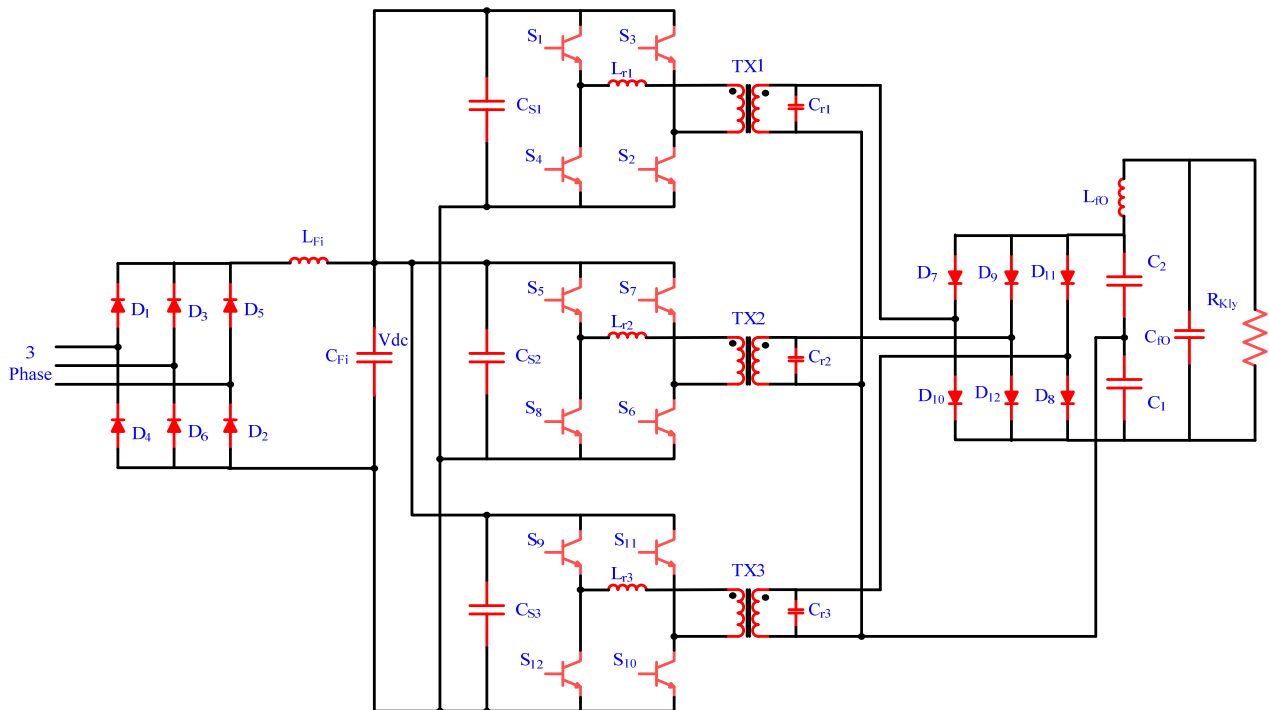
(۲) مبدل DC/DC: از طریق اینورترهای تشدیدی تمام‌پل، ولتاژ ۵۰۰ VDC، ۱ ms به پالس‌هایی با عرض ۱ ms، ۲۵ kV، ۵۰ Hz و فرکانس ۵۰ Hz تبدیل می‌شود.

(۳) یکسواساز خروجی: پالس‌های خروجی ترانسفورماتورها را یکپارچه و یکسواسازی می‌کند.

(۴) بلوک دیاگرام کنترل: از طریق نمونه‌برداری و مقایسه کردن جریان خروجی با سیگنال مرجع، کنترل حلقه بسته مبدل را انجام می‌دهد. در این تحقیق بار معادل لامپ کلایسترون یک مقاومت ۵ kΩ است (شکل ۱).

## ۱- اجزای KPS

در شکل ۲ شماتیک KPS ارائه شده است. دیودهای  $D_1$  تا  $D_6$  دیودهای یکسواساز ورودی هستند و  $L_{Fi}$  و  $C_{Fi}$  به عنوان صافی ورودی عمل می‌کنند. خازن‌های  $C_{S1}$ ،  $C_{S2}$  و  $C_{S3}$  خازن‌های ورودی هر مازول DC/DC هستند. در این تحقیق از سه مازول تمام‌پل فرکانس بالا برای مبدل DC/DC استفاده شده است.  $S_{12}$  تا  $S_{12}$  ترانزیستورهای مبدل و ترانسفورماتورهای فرکانس بالا- ولتاژ بالا  $TX^3$  تا  $TX^1$  می‌باشند.  $L_{r1}$ ،  $L_{r2}$  و  $L_{r3}$  اندوکتانس نشی ترانسفورماتورهای فرکانس بالا هستند که با خازن‌های  $C_{r1}$ ،  $C_{r2}$  و  $C_{r3}$  مدار تشدید سری را تشکیل داده‌اند. دیودهای  $D_7$  تا  $D_{12}$  در یک ساختار یکسواساز سه‌فاز ستاره در خروجی ایفای نقش می‌کنند.  $C_f$  و  $C_r$  در کنار  $L_f$  و  $C_r$  صافی خروجی KPS را تشکیل می‌دهند.



شکل ۲: مدار راهانداز لامپ کلایسترون.

#### ۴-۲ راندمان مبدل

محاسبه تلفات مدار حائز اهمیت است. عمدۀ تلفات مدار در ترانزیستورها، دیودها، مقاومت داخلی خازن‌ها و مقاومت داخلی القاگرها صورت می‌گیرد

$$P_{Loss} = P_{Loss-SW} + P_{Loss-C} + P_{Loss-L} + P_{Loss-T} + P_{Loss-D} \quad (11)$$

تلفات ترانزیستورها به صورت (۱۲) محاسبه می‌شود

$$P_{Loss-SW} = P_{SW} + P_{cond} = P_{turnon} + P_{turnoff} + P_{cond} = \frac{1}{6} V_d I_{d\max} t_{crossover} + \frac{1}{6} V_d I_{d\max} t_{crossoff} F_{SW} + I_{RMS}^2 R_{ds} \quad (12)$$

تلفات دیودها به صورت (۱۳) محاسبه می‌شود

$$P_{Loss-D} = P_{off} + P_{cond} + P_{turn-on} + P_{turn-off} = V_{in} I_R D + V_F I_F (1 - D) + I_F V_{FR} t_{FR} F_{SW} \quad (13)$$

تلفات خازن‌ها به صورت (۱۴) محاسبه می‌شود

$$P_{Loss-C} = I_{CRMA}^2 R_{ESRC} \quad (14)$$

تلفات القاگرها هم به صورت (۱۵) محاسبه می‌شود

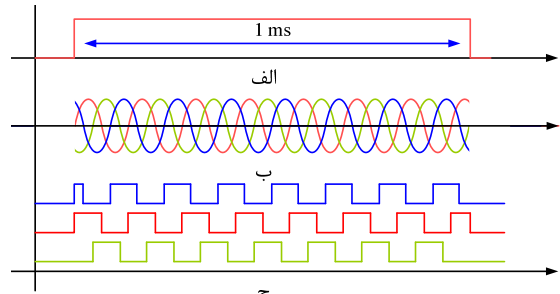
$$P_{Loss-L} = I_{LRMA}^2 R_{ESRL} \quad (15)$$

#### ۳- مدار کنترل

بلوک کنترل مدار راهانداز لامپ کلایسترون از سه بخش مدار کنترل جریان خروجی، مدار کنترل توان و متعادل‌سازی جریان مغناطیس‌کنندگی تشکیل شده است (شکل ۴).

#### ۱-۳ روش کنترل جریان خروجی

کنترل کننده جریان خروجی، سیگنال گیت  $S_g$  را در طول زمان فعال‌بودن مبدل تولید می‌کند. سیگنال  $S_g$  بر اساس نمونه‌برداری از جریان خروجی و مقایسه آن با جریان مطلوب، میزان خطای جریان



شکل ۳: نمایش اساس عملکرد مارژول‌های مبدل، (الف) پالس خروجی مدنظر، (ب) خروجی ترانسفورماتورهای یکپارچه شده و (ج) پالس گیت ترانزیستورها.

با توجه به مشخصات ترانزیستور می‌توان از IGBT با مشخصات ۲۰۰ A و ۹۰۰ V استفاده کرد. همچنین بر اساس مشخصات دیود می‌توان از ۹ دیود سری ۸ A و ۳ kV استفاده کرد.

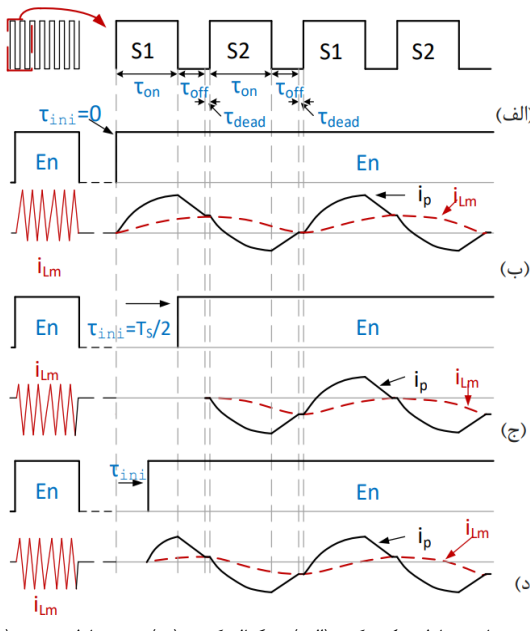
#### ۳-۲ مدار تشذید

با توجه به جریان مدنظر در خروجی، جریان قابل ملاحظه‌ای از ترانزیستورها عور می‌کند. در ساختار ارائه شده برای کاهش تلفات کلیدزنی از مدار تشذید استفاده شده که مشکل از  $C_r$  و  $L_r$  مژول است. اختلاف سطح ولتاژ بین ورودی و خروجی ترانسفورماتور مژول از کاهش تلفات ترانسفورماتور اندوکتانس ناشی ترانسفورماتور برای تأمین شرایط کلیدزنی نرم (ZVS) استفاده می‌شود [۱۶]. با توجه به آنکه مبدل در حالت CCM کار می‌کند، محاسبات فرکانس کلیدزنی به صورت روابط زیر محاسبه می‌گردد [۱۷] و [۱۸]

$$F_s > F_r \quad (9)$$

$$F_r = \frac{1}{2\pi\sqrt{L_r C_r}} \quad (10)$$

در (۹) و (۱۰)،  $F_r$  فرکانس تشذید است.



شکل ۵: جریان مغناطیس‌کنندگی، (الف) سیگنال گیت، (ب) عدم تعادل مشتث، (ج) عدم تعادل منفی و (د) تعادل.

$$\tau_{on} + \tau_{off} = T_S \quad (21)$$

در شکل ۵ شکل موج جریان اولیه ترانسفورماتور ( $i_p$ ) و جریان مغناطیس‌کنندگی ( $i_{Lm}$ ) آمده است. در شکل‌های ۵-۵-۵-ج جریان مغناطیس‌کنندگی تعادل نیست. عدم تعادل در جریان مغناطیس‌کنندگی باعث اتلاف توان ناشی از ایجاد ولتاژ در زمان‌های غیرفعال بودن مبدل در ترانسفورماتور پالس می‌گردد (شکل ۶-الف). با کنترل تغییر فاز، ولتاژ ترانسفورماتور پالس در زمان غیرفعال بودن مبدل، صفر می‌شود (شکل ۶-ب). در شکل ۵-د با کنترل زمان تأخیر شروع ( $\tau_{ini}$ ) فعال نمودن مبدل، مقدار عدم تعادل جریان مغناطیس‌کنندگی را می‌توان به حداقل رساند.  $\tau_{ini}$  به عنوان زمان تأخیر در شروع فعالیت مدار راهانداز تعریف می‌شود. برای ایجاد تعادل در جریان مغناطیس‌کنندگی،  $i_{Lm\_A}$  به عنوان متوسط جریان مغناطیس‌کنندگی در نظر گرفته می‌شود. شکل ۵ تغییرات آفست جریان مغناطیس‌کنندگی را بر اساس تغییرات فاز کلیدزنی نمایش می‌دهد. آفست  $n$  ام دوره  $D[n]$  دوره تناوب کلیدزنی با  $i_{Lm\_A}[n]$  نشان داده و تغییرات آفست  $n$  ام دوره تناوب کلیدزنی  $\Delta i_{Lm\_A}[n]$  با (۲۲) و (۲۳) محاسبه می‌گردد

$$\Delta D[n+1] = D[n+1] - D[n] \quad (22)$$

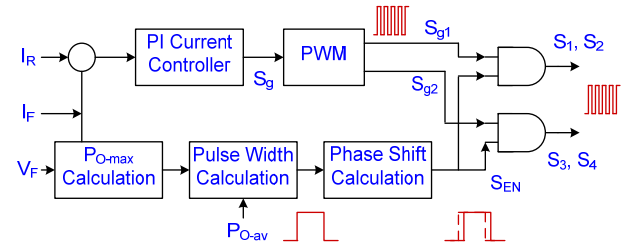
$$\Delta i_{Lm\_A}[n+1] = i_{Lm\_A}[n+1] - i_{Lm\_A}[n] \quad (23)$$

متوسط جریان مغناطیس‌کنندگی با (۲۴) محاسبه می‌شود

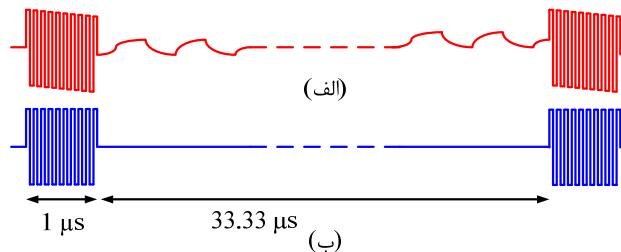
$$i_{Lm\_A}[n+1] = (i_{Lm}[n] + \frac{1}{2} \frac{V_{dc}}{L_m} D[n] \frac{T_s}{2}) + \frac{1}{2} \frac{V_{dc}}{L_m} \Delta D[n] \frac{T_s}{2} + \frac{1}{2} \frac{V_{dc}}{L_m} (\Delta D[n] \frac{T_s}{2}) \quad (24)$$

که  $i_{Lm}[n]$  جریان مغناطیس‌کنندگی در ابتدای  $n$  ام دوره کلیدزنی و رابطه موجود در پرانتز اول معادل  $i_{Lm\_A}[n]$  است. با توجه به اینکه  $\Delta D[n]$  خیلی کوچکتر از  $D[n]$  است از بخش آخر نیز می‌توان صرف نظر نمود؛ بنابراین  $i_{Lm\_A}[n]$  به صورت (۲۵) تقریب زده می‌شود

$$\Delta i_{Lm\_A}[n+1] = i_{Lm\_A}[n+1] - i_{Lm\_A}[n] = \frac{1}{2} \frac{V_{dc}}{L_m} \Delta D[n] \frac{T_s}{2} \quad (25)$$



شکل ۶: بلوك دیاگرام کنترل مازول مدولاتور توان جهت راهاندازی لامپ کلایسترون.



شکل ۷: ولتاژ ثانویه ترانسفورماتور قدرت در (الف) جریان  $i_{Lm}$  نامتعادل و (ب) جریان  $i_{Lm}$  متعادل.

خروجی را محاسبه می‌کند. سپس با استفاده از بلوك کنترل کننده جریان، سیگنال  $S_{g_1}$ ,  $S_{g_2}$ , PWM را تولید می‌نماید. سیگنال اعمالی به گیت ترانزیستورهای  $S_1$ ,  $S_2$ ,  $S_3$  و  $S_4$  از ترکیب سیگنال‌های  $S_{g_1}$  و  $S_{g_2}$  با سیگنال فعال کننده  $S_{En}$  از (۱۶) و (۱۷) حاصل می‌گردد

$$S_1, S_2 = S_{g_1} \cdot S_{En} \quad (16)$$

$$S_3, S_4 = S_{g_2} \cdot S_{En} \quad (17)$$

## ۲-۳ کنترل توان خروجی

بیشینه توان کلایسترون  $PRF$  یا فرکانس تکرار پالس  $100 \text{ kW}$  و عرض پالس خروجی  $50 \text{ ms}$  است؛ بنابراین متوسط توان خروجی  $5 \text{ kW}$  می‌باشد. بلوك کنترل با تنظیم عرض پالس، متوسط توان خروجی را کنترل می‌کند. در صورت تأمین ولتاژ خروجی  $25 \text{ kV}$ ، حداکثر توان مایکروویو توسط کلایسترون تقویت می‌شود. بر این اساس طبق شکل ۴ برای دستیابی به متوسط توان مدنظر باید زمان فعال بودن مبدل محاسبه گردد. به همین دلیل زمان فعال بودن مبدل ( $E_n$ ) و بیشینه توان به صورت (۲۰) تا (۲۰) حاصل می‌شود

$$P_{O_{max}} = V_{ODC} \cdot i_O \quad (18)$$

$$T_{En} = \frac{P_{o-av}}{P_{o-max}} \quad (19)$$

$$S_{En} = \begin{cases} 1 & , \text{ Converter is ON} \\ 0 & , \text{ Converter is OFF} \end{cases} \quad (20)$$

## ۳-۳ متعادل‌سازی جریان مغناطیس‌کنندگی

هنگام فعال بودن مدار راهانداز، ولتاژ اولیه عدم تعادل در ترانسفورماتور فرکانس بالا برقرار می‌گردد که باعث ایجاد تلفات در هسته ترانسفورماتور فرکانس بالا می‌شود. با ایجاد تعادل در جریان مغناطیس‌کنندگی، تلفات هسته کاهش پیدا می‌کند. بدین منظور ابتدا میزان عدم تعادل جریان مغناطیس‌کنندگی ترانسفورماتور فرکانس بالا محاسبه شده و سپس با تغییر فاز کلیدزنی ترانزیستورها، جریان مغناطیس‌کنندگی ترانسفورماتور متعادل می‌گردد. در سیگنال گیت ترانزیستورها  $T_s$  دوره تناوب کلیدزنی مبدل تمام‌پل و  $F_s$  فرکانس کلیدزنی است (شکل ۵-الف و (۲۱))

در (۲۷) تا (۳۳) ل شار پیوندی، A سطح مقطع هسته فریت و B حداکثر شار مغناطیسی هسته فریت است. همچنین بر اساس رابطه نسبت دور ترانسفورماتور، (۳۴) را داریم

$$\frac{N_S}{N_P} = \frac{V_O}{V_{dc}} \quad (34)$$

با درنظر گرفتن ولتاژ لینک DC،  $V = ۵۰۰$  و نیز ولتاژ سیم پیچ خروجی یک ترانسفورماتور  $8/۳۳$  kV و با صرف نظر از تلفات ترانسفورماتور قدرت، مقدار جریان DC از (۳۶) محاسبه می‌گردد

$$P_{in} = P_O = V_{dc} \cdot I_{dc} = ۳۳/۳۴ \text{ kW} \quad (35)$$

$$I_{dc} = \frac{P_{in}}{V_{dc}} = \frac{۳۳۳۳}{۵۰۰} = ۶۶.۶۷ \text{ A} \quad (36)$$

با توجه به اینکه جریان سیم پیچ اولیه به صورت سینوسی است داریم

$$I_{dc} = \frac{۲}{\pi} i_p \rightarrow i_p = \frac{\pi}{۲} \cdot I_{dc} \quad (37)$$

در (۳۷) i<sub>p</sub> حداکثر جریان سیم پیچ اولیه ترانسفورماتور است. همچنین مقدار مؤثر جریان سیم پیچ اولیه و ثانویه ترانسفورماتور با استفاده از (۳۸) تا (۴۰) محاسبه می‌گردد

$$I_{Prms} - \frac{i_p}{\sqrt{2}} \rightarrow I_{Prms} = \frac{\pi}{2\sqrt{2}} \cdot I_{dc} \quad (38)$$

$$I_{Srms} = \frac{N_p}{N_s} \cdot I_{Prms} \quad (39)$$

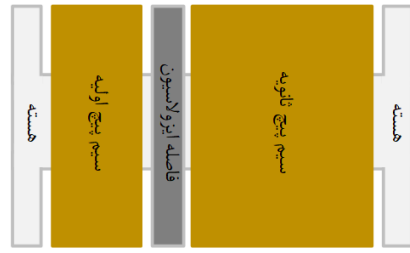
$$I_{Srms} = \frac{N_p}{N_s} \cdot \frac{\pi}{2\sqrt{2}} \cdot I_{dc} \quad (40)$$

همچنین با توجه به اختلاف ولتاژ بین سیم پیچ ورودی و خروجی ترانسفورماتور، رعایت فاصله ایزو لاسیون حائز اهمیت است. بر این اساس سیم پیچ های ورودی و خروجی ترانسفورماتور به صورت شکل ۷ باید قرار گیرند و بدین ترتیب اندوکتانس نشی ترانسفورماتور افزایش می یابد و موجب افزایش تلفات می گردد. برای جبران تلفات ناشی از افزایش اندوکتانس نشی ترانسفورماتور، بهره گیری از کلیدزنی نرم (ZVS) ضروری می گردد. با توجه به محاسبات انجام شده و تجربه کارهای مشابه، تعداد دور سیم پیچ اولیه ۲۰ دور در نظر گرفته شده است. در جدول ۱ پارامترهای مداری مازول مبدل تمام پل آمده است.

#### ۴- نتایج شبیه سازی

با استفاده از مدار ارائه شده در شکل ۲، پارامترهای مداری جدول ۱ و نرم افزار PSCAD، شبیه سازی KPS انجام گردید که در شکل ۸ نتایج شبیه سازی نشان داده شده است.

با ایجاد کردن تعادل در جریان مغناطیسی کنندگی، بیشینه جریان مغناطیسی کنندگی ترانسفورماتورها کاهش پیدا می کند. در شکل های -۸، -۸-۸- ط، جریان متداول مغناطیسی کنندگی نشان داده شده است. بدین صورت بیشینه جریان مغناطیسی کنندگی برای هر سه ترانسفورماتور -۴ A و کمینه جریان مغناطیسی کنندگی برای همه ترانسفورماتورها -۴ A به دست آمده است. شکل -۸-۱ جریان ترانزیستور S<sub>۱</sub> (۱۶۵ A) را در حالت تعادل جریان مغناطیسی کنندگی و همچنین شکل -۸-۲ ک جریان ترانزیستور S<sub>۲</sub> (۱۷۴ A) را در حالت عدم تعادل جریان مغناطیسی کنندگی و نشان می دهد. مبدل تمام پل در حالت تعادل جریان مغناطیسی کنندگی و



شکل ۷: نحوه قرار گیری سیم پیچ ها بر روی هسته ترانسفورماتور.

این رابطه نشان می دهد که تغییرات آفست جریان مغناطیسی کنندگی  $\Delta i_{Lm\_A}[n+1]$  معادل نصف تغییرات جریان مغناطیسی کنندگی است. اگر در زمان شروع حالت فعال ( $E_n$ ) مقدار مناسب برای  $\tau_{ini}$  در نظر گرفته شود (شکل ۵)، جریان مغناطیسی کنندگی متعادل خواهد شد. تأخیر زمان شروع  $\tau_{ini}$  برای حفظ تعادل جریان مغناطیسی کنندگی توسط خروجی کنترل کننده تغییر فاز محاسبه می شود (شکل ۴).

برای ایجاد تعادل در جریان مغناطیسی کنندگی (شکل ۵-د)، مطابق با (۲۶) یک مقدار اولیه برای  $\tau_{ini}$  در همان لحظه شروع حالت فعال بودن مبدل در نظر گرفته می شود [۱۹] تا [۲۱]

$$\tau_{ini} = \frac{\tau_{on}}{2} \times \frac{T_S}{2} \quad (26)$$

بدین ترتیب تأخیر نقطه شروع  $\tau_{ini}$ ، تعادل جریان مغناطیسی را تسهیل می کند (شکل ۵-د) و به علاوه، تعادل جریان مغناطیسی ZVS کلیدها تضمین و از اشباع هسته ترانسفورماتور قدرت غیرفعال بودن مبدل، تلفات ترانسفورماتور را به حداقل همچنین در زمان غیرفعال بودن مبدل، تلفات جریان کلیدها را کاهش می رساند و بدین ترتیب با کنترل تغییر فاز کلیدزنی، تعادل در جریان مغناطیسی کنندگی ایجاد می شود. مقدار حداکثر جریان مغناطیسی کنندگی ترانسفورماتور فرکانس بالا کاسته شده و در نتیجه تنش جریان کلیدها کمتر گردیده و تلفات کلیدزنی و تلفات هسته کاهش می یابد. بنابراین حجم، وزن و قیمت هسته ترانسفورماتور فرکانس بالا نیز کاهش می یابد.

#### ۴- طراحی ترانسفورماتور

با توجه به استفاده از مدار تشذیب سری در ساختار ارائه شده، جریان سیم پیچ اولیه ترانسفورماتور قدرت به صورت سینوسی است. با استفاده از (۲۷) تا (۴۰)، مقدار بهینه پارامترهای ترانسفورماتور با درنظر گرفتن ملاحظات عملی طراحی می گردد

$$V_p = \frac{d\lambda}{dt} = \frac{d(N_p \times \varphi)}{dt} \quad (27)$$

$$V_p = N_p \frac{d\varphi}{dt} \quad (28)$$

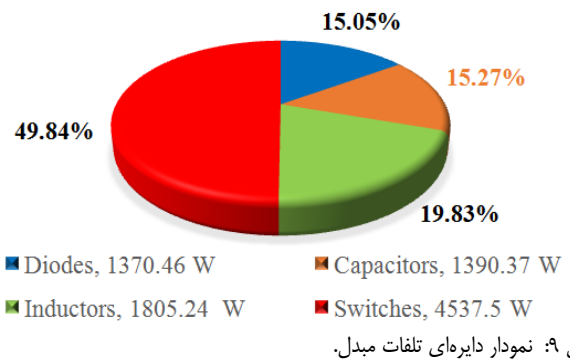
$$\varphi = A \times B \rightarrow V_p = N_p \times A \frac{dB}{dt} \quad (29)$$

$$\int_{T_r}^T V_p dt = N_p \times A \int_{T_r}^T dB \quad (30)$$

$$V_p = V_{dc} \times \sin(\omega_s t) \quad (31)$$

$$\frac{2V_{dc}}{\omega_s} N_p 2AB \quad (32)$$

$$N_p = \frac{V_{dc} 2\pi F_s}{AB} \quad (33)$$



شکل ۹: نمودار دایره‌ای تلفات مبدل.

جدول ۱: پارامترهای مداری مبدل تمام‌پل.

پارامتر	نماد	مقدار
بیشینه توان	$P_{O\_max}$	۱۰۰ kW
متوسط توان	$P_{O\_av}$	۳ kW
ولتاژ ورودی	$V_i$	۳۸۰ vac
ولتاژ خروجی	$V_{ODC}$	۲۵ kV
جریان خروجی	$I_o$	۴ A
عرض پالس	$PW$	۱ ms
فرکانس تکرار پالس	$PRF$	۵۰ Hz
DC ولتاژ ورودی	$V_{dc}$	۵۰۰ V
اندوکتانس تشید	$L_r$	۵۴/۵ $\mu$ H
اندوکتانس مغناطیس‌کنندگی	$L_m$	۱۲۰۰ $\mu$ H
خازن تشید	$C_r$	۲۲ nF
خازن‌های اولیه صافی خروجی	$C_1$ و $C_2$	۵۰ nF
اندوکتانس صافی خروجی	$L_{FO}$	۷۰ mH
خازن ثانویه صافی خروجی	$C_{FO}$	۲۵ nF
مقاومت معادل کلایسترون	$R_{kly}$	۵ k $\Omega$
نسبت دور ترانسفورماتور	$N$	۲۰,۳۳۷

جدول ۲: مبدل تمام‌پل در حالت تعادل جریان مغناطیس‌کنندگی و عدم تعادل مغناطیس‌کنندگی.

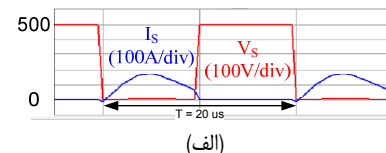
$N$	$I_{Sm}$	$I_{Lm}$	پارامترهای مورد مقایسه	
			عدم تعادل	تعادل
۳۵۴	۱۷۴ A	۶ A		
۳۳۷	۱۶۵ A	۴ A		

عدم تعادل در جریان مغناطیس‌کنندگی در جدول ۲ مورد مقایسه قرار گرفته است. با تعادل در جریان مغناطیس‌کنندگی ضمن کاهش بیشینه جریان مغناطیس‌کنندگی موجب کاهش تنش جریان ترانزیستورها و نسبت دور ترانسفورماتور شده است.

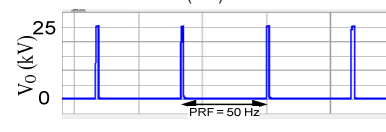
بر اساس (۱۱) تا (۱۵) و نتایج شبیه‌سازی، محاسبات تلفات انجام شد و راندمان مبدل بدین صورت ارائه می‌گردد: توان خروجی  $P_o = 100 \text{ kW}$  و مجموع توان تلفاتی مبدل  $P_{Losses} = ۹۱۰۳/۵۷ \text{ W}$  است که بر این اساس، راندمان مبدل ۹۱/۶۶٪ می‌شود. شکل ۹ نمودار دایره‌ای تلفات مبدل را نشان می‌دهد که عمدۀ تلفات مبدل مربوط به ترانزیستورهاست (۴۹/۸۴٪). تلفات القارگاهها، ۱۹/۸۳٪، خازن‌ها ۱۵/۲۷٪ و کمترین مقدار مربوط به دیودها با ۱۵/۰۵٪ است.

## ۵- نتیجه‌گیری

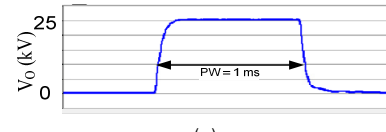
ایده مطرح شده در این تحقیق بدین صورت است که با استفاده از روش



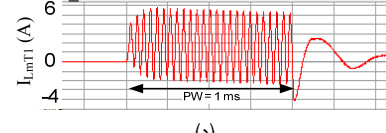
(الف)



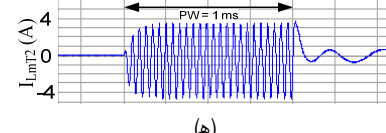
(ب)



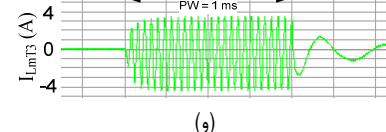
(ج)



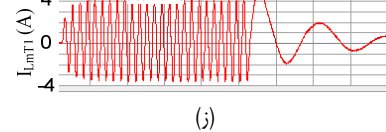
(د)



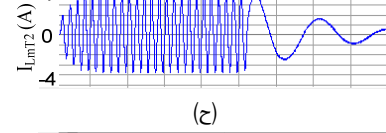
(ه)



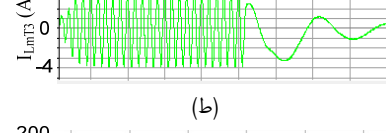
(و)



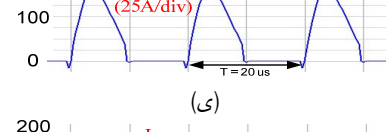
(ز)



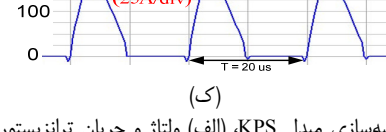
(ط)



(پ)



(ک)



(ک)

شکل ۸: نتایج شبیه‌سازی مبدل KPS. (الف) ولتاژ و جریان ترانزیستور  $S_1$ ، (ب) قطار پالس ولتاژ باریکه الکترون کلایسترون، (ج) تکپالس ولتاژ باریکه الکترون کلایسترون، (د) جریان مغناطیس‌کنندگی نامتعادل ترانسفورماتور ۱، (ه) جریان مغناطیس‌کنندگی نامتعادل ترانسفورماتور ۲، (و) جریان مغناطیس‌کنندگی نامتعادل ترانسفورماتور ۳، (ز) جریان مغناطیس‌کنندگی متعادل ترانسفورماتور ۱، (ح) جریان مغناطیس‌کنندگی متعادل ترانسفورماتور ۲، (ط) جریان مغناطیس‌کنندگی متعادل ترانسفورماتور ۳، (ای) جریان ترانزیستور  $S_1$  بعد از متعادل‌سازی جریان مغناطیس‌کنندگی و (ک) جریان ترانزیستور  $S_1$  قبل از متعادل‌سازی جریان مغناطیس‌کنندگی.

- [14] A. Nasiri and M. R. Banaei, "A new magnetron driving method using a phase shifted active clamp forward converter for sulfur plasma tube applications," *IET Power Electronics*, vol. 14, no. 2, pp. 442-453, Feb. 2021.
- [۱۵] م. بیگی، آ. دهمستانی کلاغر و م. ر. علیزاده پهلوانی، "استفاده از یک سوسازهای چندسطحی دیودمهاری با کنترل کننده MPC، جهت تغذیه فرستنده لورن،" *علوم و فناوری های پا-فند نوین*، سال ۱۱، شماره ۲، صص. ۱۶۵-۱۳۹، تیر ۱۴۰۵.
- [16] N. Z. Saadabad, S. H. Hosseini, A. Nasiri, and M. Sabahi, "A new soft switched high gain three-port DC-DC converter with coupled inductors," *IET Power Electronics*, vol. 13, no. 19, pp. 4562-4571, Feb. 2020.
- [17] A. Nasiri, M. R. Banaei, S. M. Alavi, and S. Hosseinzadeh, "A new control method for magnetron lamp power supply using forward-flyback converter with active clamp," *IEEE Trans. on Plasma Science*, vol. 51, no. 8, pp. 2390-2398, Aug. 2023.
- [۱۸] ا. شمشادی، ع. ر. نصیری، و پ. خرمبور، "بررسی و شبیه‌سازی چنیاره شدن شبکه زمین و تأثیر آن بر تغییر ولتاژهای گام و تماس در پست‌های فشارقوی با استفاده از روش اجزای محدود،" *نشریه علمی الکترومغناطیس کاربردی*، سال ۹، شماره ۱، صص. ۱۴۰-۱۳۹-۹۷، بهار و تابستان ۱۴۰۰.
- [19] A. Nasiri, M. R. Banaei, and S. Rahirni, "Phase-shifted half-bridge resonant inverter for driving magnetron," in *Proc. IEEE Int. 10th Power Electronics, Drive Systems and Technologies. Conf.*, pp. 735-740, Shiraz, Iran, 12-14 Feb. 2019.
- [20] M. J. Kim, W. S. Choi, I. W. Jeong, H. C. Park, and K. H. Park, "A new driving method of the magnetron power supply for a sulfur plasma lamp," *IEEE Trans. on Ind. Electron.*, vol. 63, no. 9, pp. 492-499, 2016.
- [21] J. H. Cho, K. B. Park, J. S. Park, G. W. Moon, and M. J. Youn, "Design of a digital offset compensator eliminating transformer magnetizing current offset of a phase-shift full-bridge converter," *IEEE Trans. on Power Electron.*, vol. 27, no. 1, pp. 331-341, Jan. 2012.

**ابوالفضل نصیری** در سال ۱۳۵۷ در کرج به دنیا آمد. در سال ۱۳۸۲ مدرک کارشناسی مهندسی برق (الکترونیک) را از دانشگاه آزاد اسلامی واحد تهران جنوب، در سال ۱۳۸۸ مدرک کارشناسی ارشد مهندسی برق (الکترونیک) را از دانشگاه جامع امام حسین (ع) و در سال ۱۴۰۰ مدرک دکتری مهندسی برق (الکترونیک قدرت) را از دانشگاه شهید مدنی آذربایجان دریافت نموده است. او هم‌اکنون استادیار دانشکده فنی مهندسی دانشگاه افسری و تربیت پاسداری امام حسین (ع) می‌باشد. زمینه‌های تحقیقاتی مورد علاقه وی عبارت هستند از طراحی مدارات آنالوگ، الکترونیک صنعتی، مدولاتورهای توان و مبدل‌های DC/DC.

**محسن گنجی** در سال ۱۳۶۶ در ازنا به دنیا آمد. در سال ۱۳۹۲ مدرک کارشناسی مهندسی برق (کنترل) را از دانشگاه علمی کاربردی و در سال ۱۴۰۰ مدرک کارشناسی ارشد را از دانشگاه جامع امام حسین دریافت کرده است. او هم‌اکنون به عنوان مربی در دانشکده فنی مهندسی دانشگاه افسری و تربیت پاسداری امام حسین (ع) مشغول خدمت می‌باشد. زمینه علمی مورد علاقه نامبرده، رادار است.

**سید محمد علوی** در سال ۱۳۶۵ مدرک کارشناسی مهندسی برق الکترونیک خود را از دانشگاه صنعتی امیرکبیر و در سال ۱۳۶۹ مدرک کارشناسی ارشد مهندسی برق الکترونیک خود را از دانشگاه تهران دریافت نمود. پس از آن در سال ۱۳۹۰ مدرک دکتری مهندسی برق را از دانشگاه خواجه نصیرالدین طوسی اخذ کرد. او هم‌اکنون دانشیار دانشکده فنی مهندسی دانشگاه جامع امام حسین (ع) است. زمینه‌های علمی مورد علاقه نامبرده شامل رادار و میکروالکترونیک می‌باشد.

تغییر فاز، تعادل در جریان مغناطیس‌کنندگی ترانسفورماتور پالس ایجاد می‌شود. در نتیجه حداکثر جریان مغناطیس‌کنندگی ترانسفورماتور فرکانس بالا از ۶ A به ۴ A کاهش یافت. همچنین تعداد دورهای سیم پیچ ثانویه در حالت عدم تعادل جریان مغناطیس‌کنندگی ۵۸۳ دور بود که با ایجاد تعادل به ۵۲۴ دور کاهش یافت. با کاهش جریان مغناطیس‌کنندگی، ابعاد، وزن و حجم ترانسفورماتور پالس کاهش می‌یابد. همچنین ایجاد تعادل در جریان مغناطیس‌کنندگی باعث کاهش تنش جریان کلیدها از ۱۷۴ A به ۱۶۵ A شد.

## مراجع

- [1] Z. Liu, H. Zha, J. Shi, and H. Chen, "Study on the efficiency of klystrons," *IEEE Trans. on Plasma Science*, vol. 48, no. 6, pp. 2089-2096, Jun. 2020.
- [2] L. J. R. Nix, L. Zhang, and A. W. Cross, "Design of a 48 GHz gyroklystron amplifier," *IEEE Trans. on Electron Devices*, vol. 68, no. 11, pp. 5792-5798, Nov. 2021.
- [3] R. Thekkappat, V. Mandloi, and P. Shrivastava, "A solid-state converter topology, -100 kV, 20 A, 1.6 ms, modulator for high average power klystron amplifier," *IEEE Trans. on Plasma Science*, vol. 46, no. 10, pp. 3700-3707, Oct. 2018.
- [4] M. Collins and C. Martins, "A modular and compact long pulse modulator based on the SML topology for the ESS linac," *IEEE Trans. on Dielectrics and Electrical Insulation*, vol. 24, no. 4, pp. 2259-2267, Aug. 2017.
- [۵] م. ر. بنائی، ا. نصیری، س. م. علوی و س. حسین‌زاده، "کنترل ولتاژ منبع تغذیه مگنترون با استفاده از مبدل فلای‌بک کلمپ فعال،" *نشریه علمی الکترومغناطیس کاربردی*، سال ۷، شماره ۱، صص. ۸۳-۸۱، بهار و تابستان ۱۳۹۸.
- [6] N. Z. Saadabad, A. Nasiri, and J. Nekoui, "A new three-port DC/DC converter with soft switching for PV applications," *International J. of Circuit Theory and Applications*, Early View, Jun. 2024, <https://doi.org/10.1002/cta.4107>.
- [7] F. C. Magallanes and D. Aguglia, "Solid-state fast voltage compensator for pulsed power applications requiring constant AC power consumption," *IEEE Trans. on Dielectrics and Electrical Insulation*, vol. 22, no. 4, pp. 1963-1970, Aug. 2015.
- [8] D. Malviya and M. Veerachary, "A boost converter-based high-voltage pulsed-power supply," *IEEE Trans. on Industry Applications*, vol. 56, no. 5, pp. 5222-5233, Sept./Oct. 2020.
- [۹] ا. نصیری، م. ر. بنائی، س. م. علوی و س. حسین‌زاده، "ارائه یک روش جدید برای راماندازی لامپ مگنترون با استفاده از مبدل نیم‌پل تغییر فاز یافته،" *رادار*، سال ۸، شماره ۲، صص. ۹-۲۰، دی ۱۳۹۹.
- [10] R. Khosravi and M. Rezanejad, "A new pulse generator with high voltage gain and reduced components," *IEEE Trans. on Ind. Electron.*, vol. 66, no. 4, pp. 2795-2802, Apr. 2019.
- [11] M. Collins and C. A. Martins, "Evaluation of a novel capacitor charging structure for flicker mitigation in high-power long-pulse modulators," *IEEE Trans. on Plasma Science*, vol. 47, no. 1, pp. 985-993, Jan. 2019.
- [12] M. Collins and C. A. Martins, "Optimal design of a high-voltage DC/DC converter for the 11.5 MW/115 kV ESS long-pulse modulator," *IEEE Trans. on Plasma Science*, vol. 48, no. 10, pp. 3332-3341, Oct. 2020.
- [۱۳] ا. نصیری، م. ر. بنائی، س. م. علوی و س. حسین‌زاده، "کاهش تلفات هسته مغناطیسی در مبدل فوروارد برای راه اندازی لامپ مگنترون،" *نشریه مهندسی برق و مهندسی کامپیوتر ایران*، الف- مهندسی برق، سال ۴، شماره ۴، صص. ۲۳۱-۲۳۹، زمستان ۱۳۹۸.